

УДК 541.64:543.422.25:547.992.3

## НЕОДНОРОДНОСТЬ ХИМИЧЕСКОГО СТРОЕНИЯ МАКРОМОЛЕКУЛ ЛИГНИНА РАЗЛИЧНЫХ РАСТИТЕЛЬНЫХ ТКАНЕЙ. ИССЛЕДОВАНИЕ МЕТОДОМ СПЕКТРОСКОПИИ ЯМР НА ЯДРАХ $^1\text{H}$ И $^{13}\text{C}$ <sup>1</sup>

© 2000 г. Л. В. Каницкая\*, А. В. Рохин\*\*, Д. Ф. Кушнарев\*\*, Г. А. Калабин\*\*

\*Иркутский институт химии Сибирского отделения Российской академии наук  
664033 Иркутск, ул. Фаворского, 1

\*\*Иркутский государственный университет  
664001 Иркутск, ул. К.Маркса, 1

Поступила в редакцию 07.07.99 г.  
Принята в печать 13.09.99 г.

Методом спектроскопии ЯМР на ядрах  $^1\text{H}$  и  $^{13}\text{C}$  исследована химическая структура макромолекул диоксанлигнинов, выделенных из всего стебля (ДЗС), из внутренней части стебля (ДЛВ) и из коры хлопчатника (ДЛК). Установлено, что ДЗС и ДЛВ различаются только степенью конденсированности, количеством арил-арильных простых эфирных и сложноэфирных связей, тогда как химическое строение ДЛК, принципиально отличается от ДЗС и ДЛВ соотношением структурообразующих звеньев S и G, наличием большого количества пирокатехиновых структур, содержанием функциональных групп, связей и длиной боковых цепей.

Неоднородность химической структуры макромолекул лигнина различных растительных тканей древесины, клеток и даже слоев клеточной стенки в пределах одного вида растений в принципе доказана [1]. Например, известно, что в ядровой древесине лиственных пород содержится гораздо большее количество сирингильных звеньев по сравнению с соответствующей заболонной частью [2]. Исследование коры хвойных и лиственных пород показало, что лигнин коры хвойных пород являются типичными G-лигнинами с повышенным по сравнению с лигнином древесины содержанием Н-звеньев. Лигинны коры лиственных пород, будучи GS-лигнинами, содержат по сравнению с древесиной больше G-звеньев [3].

Лигнин склероид из коры древесины осины имеет более низкое содержание групп  $\text{OCH}_3$  и более высокое отношение фенольных групп OH к  $\text{OCH}_3$  по сравнению с лигнином древесины. Отношение ванилина к сиреневому альдегиду в продуктах нитробензольного окисления лигнина коры со-

ставляет 1 : 3. Спектры ЯМР  $^1\text{H}$  двух фракций лигнина коры указывают на более высокую степень его конденсации [4]. Исследование лигнинов коры японских хвойных (*Pinus thunbergii*, *Abies firma*, *Griptomerica japonica*) и лиственных (*Fagus crenata*, *Magnolia abovata*, *Quercus crispula*) пород методами нитробензольного окисления и этанолиза показало, что в продуктах деградации присутствуют такие же соединения, какие получают из макромолекулы лигнина древесины, но их количественное соотношение иное; в частности, в лигнине коры лиственных пород сирингильных звеньев меньше, чем гваяцильных по сравнению с лигнином соответствующей древесины [5].

Все исследования указывают на общее сходство строения макромолекул, выделенных из древесины и коры, и на незначительные различия соотношения структурных звеньев. Однако на основании результатов сравнительного исследования различных морфологических элементов древесины белого дуба (*Quercus alba*) выражено сомнение в отношении неоднородности состава лигнина лиственных пород [6].

<sup>1</sup> Работа выполнена при финансовой поддержке Российского фонда фундаментальных исследований (код проекта 97-04-96151).

**Таблица 1.** Распределение атомов водорода по функциональным группам и структурным фрагментам в диоксан-лигнинах, выделенных из различных частей стебля хлопчатника

Фрагменты и группы	Значения $q_x$			Диапазон хим. сдвиг $^1\text{H}$ $\delta$ (м. д.) и отнесение сигналов
	ДЗС	ДЛВ	ДЛК	
$\text{H}_{\text{C(O)OH}}$	0.004	0.000	0.001	14.0–12.0 OH карбоксильных групп
$\text{H}_{\text{C(O)H}}$	0.006	0.005	—	9.7–9.0 H альдегидных групп
$\text{H}_{\text{OH фен (1)}}$	0.014	0.008	0.032	12.0–9.3 OH при C-4 G', H'
$\text{H}_{\text{OH фен (2)}}$	0.013	0.003	0.038	9.3–8.4 OH при C-4 S'; C-3/C-4 в П; C-3/C-5 в пирогаллоле
$\text{H}_{\text{ap}}$	0.229	0.164	0.161	8.4–6.3 водород ароматического кольца
$\text{H}_{\text{O-ал}}$	0.642	0.751	0.647	6.3–2.9 CH-, CHO-, $\text{CH}_2\text{O}$ -, $\text{CH}_3\text{O}$ -группы в $\alpha$ -, $\beta$ -, $\gamma$ -положениях к ароматическому кольцу, CHO углеводов
$\text{H}_{\alpha, \beta, \gamma}$	0.056	0.069	0.120	2.9–0.3 CH-, $\text{CH}_2$ -, $\text{CH}_3$ -группы в $\alpha$ -, $\beta$ -, $\gamma$ -положениях к ароматическому кольцу
$\text{H}_{\text{OH ал}}$	0.052	—	—	Атомы водорода спиртовых групп OH

Известно, что всем методам анализа лигнина, основанным на химической деградации, свойствен общий недостаток: продукты деструкции образуются только из неконденсированных звеньев  $\text{C}_6\text{--C}_3$ , что приводит к неточному определению содержания звеньев H, G, S. Часть количественной информации (например, о связях между звеньями) по большей части труднодоступна из-за длительности процедур анализа. Следовательно, сделать вывод о сходстве или различии химического строения макромолекул лигнинов, выделенных из разных частей растения, только на основании имеющихся результатов химических методов анализа невозможно. Поэтому проведен сравнительный анализ химического строения диоксан-лигнинов, выделенных из различных частей зрелого стебля хлопчатника: из всего стебля (ДЗС), из внутренней части стебля (ДЛВ) и из коры стебля (ДЛК) методом спектроскопии ЯМР  $^1\text{H}$  и ЯМР  $^{13}\text{C}$ .

## ЭКСПЕРИМЕНТАЛЬНАЯ ЧАСТЬ

Диоксанлигнины выделяли по методике Пеппера, но с предварительным промыванием растения горячей водой. Элементный состав лигнинов (мас. %): ДЗС С 56.94; Н 6.40; ДЛВ С 56.95; Н 6.07; N 0.10; ДЛК С 56.34; Н 5.81; N 0.44.

Спектры ЯМР  $^1\text{H}$  препаратов лигнина регистрировали на спектрометре VXR-500S фирмы "Varian" (рабочая частота 500 МГц) с релаксационной задержкой 4 с, импульс  $90^\circ$ . В качестве рас-

тврителя использовали гексаметилфосфортиамид (ГМФА- $d_{18}$ ).

Спектры ЯМР  $^{13}\text{C}$  препаратов лигнина с шумовой развязкой от протонов, подспектры первичных и третичных, вторичных и четвертичных атомов углерода, полученные по методу спинового эха с мультиплетной расфазировкой, регистрировали после 10000 прохождений на спектрометре VXR-500S фирмы "Varian" (рабочая частота 125.5 МГц) с релаксационной задержкой 2.5 с, импульс  $90^\circ$  в растворе  $\text{DMSO-d}_6$ . В качестве релаксанта использовали *трикс*-ацетилацетонат хрома (0.02 моль/л).

Количественные расчеты по спектрам ЯМР производили согласно методике [7, 8].

## РЕЗУЛЬТАТЫ И ИХ ОБСУЖДЕНИЕ

В табл. 1 и 2 представлено распределение атомов водорода по структурным фрагментам макромолекул лигнинов и количество атомов углерода структурных фрагментов и функциональных групп в расчете на одно ароматическое кольцо  $n_x$ , количество звеньев и связей в макромолекулах лигнинов – в табл. 3. В табл. 4 отражено содержание функциональных групп исследуемых лигнинов в мас. %. Как видно из табл. 1 и 2, ДЛВ отличается от ДЗС меньшим количеством фенольных групп OH, атомов углерода боковых цепей, связанных с атомом кислорода, в том числе сложноэфирных групп, спиртовых групп

**Таблица 2.** Количество основных функциональных групп и фрагментов  $n_x$  в диоксанлигнинах, выделенных из различных частей стебля хлопчатника, рассчитанное по спектрам ЯМР  $^{13}\text{C}$  и ЯМР  $^1\text{H}$

Фрагменты и группы	Значения $n_x$			Диапазон хим. сдвигов $^{13}\text{C}$ $\delta$ (м. д.) и отнесение сигналов
	ДЗС	ДЛВ	ДЛК	
C=O	0.106	0.181	0.176	220–190 C=O кетонов
C(O)H	0.082	0.065	0.001	210–185 C=O альдегидов
C(O)OH	0.052	–	0.012	185–164 C(O)OH (ЯМР $^1\text{H}$ )
C(O)O–	0.365	0.078	0.207	185–164 C(O)O сложноэфирных связей
HC=CH	–	0.266	–	156–110 C фрагментов Ar–CH=CH–R
C <sub>ap</sub> –O (1)	0.295	0.032	0.163	164–156 C-4 H, H'; C-2,4,6 A, A'; C-5/C-7 флаваноидов, катехинов
C <sub>ap</sub> –O (2)	–	0.048	0.119	156–153 C-4 G, G' ( $\alpha$ -C=O)
C <sub>ap</sub> –O (3)	0.823	0.924	1.129	153–151 C-3,5S; C-3/C-5 G (4-O-5)
C <sub>ap</sub> –O (4)	1.237	1.354	1.213	151–140 C-3,4 G, G' и П
C <sub>ap</sub> –O (5)	0.450	0.455	0.350	138–134 C-4 S, S'; C-4 G (4-O-5)
C <sub>ap</sub> –C (1)	1.823	1.350	0.905	140–123 C-1 S, S', G, G', П
C <sub>ap</sub> –C (2)	0.179	–	–	119–114 C-1,3 A*
C <sub>ap</sub> –C (3)	0.105	–	0.303	114–95 C-1,3 A**
CH <sub>ap</sub> (1)	0.029	–	–	132–125 C-2,6 H, H';
CH <sub>ap</sub> (2)	0.240	0.320	0.297	125–117 C-6 G, G'; C-5,6 G, G' ( $\alpha$ -C=O) C-6 П
CH <sub>ap</sub> (3)	0.481	0.387	0.604	117–114 C-5 G, G'; C-3,5 H, H'; C-2,5 П
CH <sub>ap</sub> (4)	–	0.387	0.192	114–108 C-2 G, G'
CH <sub>ap</sub> (5)	0.347	0.741	0.704	108–103 C-2,6 S, S'; C-2 G (4-O-5)
CH <sub>ap</sub> (6)	–	0.043	0.102	105–95 C-5 A, A'
CHO <sub>алк</sub> (1)	0.674	0.649	0.353	90–78 C <sub>α</sub> в $\alpha$ -O-4; C <sub>β</sub> в $\beta$ -O-4
CHO <sub>алк</sub> (2)	0.643	0.686	0.446	78–64 C <sub>α</sub> , <sub>β</sub> в $\beta$ -O-4, $\alpha$ -O-4; C <sub>α</sub> -OH; C <sub>β</sub> -OH
CH <sub>2</sub> O <sub>алк</sub>	1.082	0.622	0.271	76–58 C <sub>γ</sub> в CH <sub>2</sub> –O–R, CH <sub>2</sub> OH
CH <sub>3</sub> O'	0.086	–	–	64–58 CH <sub>3</sub> O– в Ar–OCH <sub>3</sub> в А
CH <sub>3</sub> O	1.305	1.297	0.993	56–54 CH <sub>3</sub> O– в Ar–OCH <sub>3</sub> в S, S'; G, G'
CH <sub>β</sub> – $\beta$ + $\beta$ –5 + $\beta$ –1	0.163	0.173	0.066	54–52 C <sub>β</sub> в $\beta$ - $\beta$ C <sub>β</sub> в $\beta$ -5
C <sub>алк</sub>	0.312	0.749	1.103	45–5 CH, CH <sub>2</sub> , CH <sub>3</sub> алифатические
$f_a = I_x/I_{общ}$	0.560	0.583	0.639	164–103 степень ароматичности лигнина

\* См. работу [8].

$\text{CH}_2\text{OH}$ , отсутствием групп  $\text{COOH}$ , а также меньшим количеством связей  $\text{C}_{\text{ap}}-\text{C}$ , определяющих степень конденсированности макромолекулы лигнина, но несколько большим количеством связей  $\text{C}_{\text{ap}}-\text{O}-\text{C}_{\text{ap}}$ . Количество структурообразующих звеньев S, G и т.д. в макромолекуле лигнина из внутренней части стебля то же, что и во всем стебле. Резонансные сигналы, относящиеся к *n*-оксифенильным единицам в спектрах ЯМР  $^{13}\text{C}$  ДЛВ не обнаружено (хим. сдвиги  $^{13}\text{C}$  звеньев H: 164–162, 131, 125 м. д.). Макромолекула ДЛК существенно отличается от лигнинов ДЗС и ДЛВ хлопчатника. В спектрах ЯМР  $^{13}\text{C}$  лигнина ДЛК в отличие от ДЗС и ДЛВ наблюдаются интенсивные резонансные сигналы в диапазоне 143–145 м. д. (рис. 1), которые могут принадлежать как атомам C-4 колец G в структурах со связями  $\beta$ -1 и 5-5, так и атомам C-3/C-4 пирокатехиновых структур (П) [9, 10]. Поскольку количество связей  $\text{C}_{\text{ap}}-\text{C}$  невелико, наиболее предпочтительным остается отнесение этих резонансных сигналов к звеньям П. На это указывает также очень большое количество фенольных групп OH и фрагментов  $\text{CH}_{\text{ap}}$ , имеющих резонанс в области 117–114 м. д. (C-2/C-5 структур П, замещенных по положению C-1 ароматического кольца) (рис. 1).

В ДЛК хлопчатника содержится до 28 звеньев П, 35 звеньев S, 25 звеньев G и 10 звеньев A. Звеньев H не обнаружено. Степень конденсированности макромолекулы ДЛК намного ниже, чем ДЗС ( $13/\text{C}_{600}$  связей  $\text{C}_{\text{ap}}-\text{C}$ ), почти в 2 раза меньше арил-алкильных простых эфирных связей, но почти во столько же раз больше арил-арилльных простых эфирных связей. Количество групп  $\text{OH}_{\text{фен}}$  в 2–3 раза превышает таковое в ДЗС и ДЛВ.

Боковые цепи ДЛК окислены незначительно и отличаются от боковых цепей лигнина стебля небольшим количеством атомов углерода, связанных с атомом кислорода –  $1.53/\text{C}_6$ . Количество фрагментов  $\text{C}_\gamma\text{H}_2-\text{OH}$  составляет всего  $0.27/\text{C}_6$ . Суммарное количество пинорезинольных и фенил-кумарановых структур в 3 раза ниже, чем в лигнинах из стебля хлопчатника.

Такие структурные характеристики ДЛК, как наличие пирокатехиновых структур, высокое содержание групп  $\text{OH}_{\text{фен}}$ , наличие структур A', приводят к заключению, что в препарате лигнина из коры хлопчатника присутствуют полифенольные соединения типа проантоксианидинов, хотя эти группы соединений легко растворяются в горячей воде и, таким образом, должны быть экстрагированы еще на стадии подготовки коры хлопчатника перед выделением лигнина. Присутствие флавоноидов, которые не экстрагируются

Таблица 3. Количество структурных фрагментов, связей и функциональных групп  $N_x$  в препаратах лигнинов, выделенных из различных частей стебля хлопчатника

Фрагменты, функциональные группы и связи	Значения $N_x$			Ошибка, отн. %
	ДЗС	ДЛВ	ДЛК	
S + S' (S')	45(4)	46	37	10.3
G + G'	41	39	25	12.0
H + H' + A + A' (A')	15(5)	16	10	20.0
Π	–	–	28	20.0
$\Sigma \text{C}_{\text{ap}}-\text{O}$	281	281	297	10.3
$\Sigma \text{CH}_{\text{ap}}$	110	184	190	10.3
$\text{C}_{\text{ap}}-\text{O}-\text{C}$	104	125	118	14.0
$\text{C}_{\text{ap}}-\text{O}-\text{C}_{\text{ал}}$	67	65	35	20.0
$\text{C}_{\text{ap}}-\text{O}-\text{C}_{\text{ap}}$	18	30	42	20.0
$\text{C}_{\text{ap}}-\text{C}$	211	135	113	10.3
$\Sigma \text{C}_{\text{бок. цепей}}$	348	347	263	12.0
$\text{C}_{\text{ap}}-\text{OH}$	37	26	83	12.0
$\text{C}_\gamma-\text{OH}$	96	62	27	12.0
$-\text{OCH}_3$	9	–	0	6.7
$-\text{OCH}_3'$	131	130	99	6.7
C(O)OR	37	8	21	6.7
C(O)OH	5	–	1	6.7
C=O	11	18	18	6.7
C(O)H	8	7	–	6.7

Таблица 4. Содержание основных функциональных групп и примесей в препаратах лигнина из различных частей стебля хлопчатника

Функциональные группы	Содержание, мас. %		
	ДЗС	ДЛВ	ДЛК
C=O	1.31	2.34	2.46
C(O)H	1.05	0.87	0.01
C(O)OH	1.03	0.00	0.26
C(O)O–	7.09	1.58	4.55
$\text{CH}_3\text{O}$	19.03	18.56	15.39
$\text{OH}_{\text{фен}}$	2.94	1.13	6.91

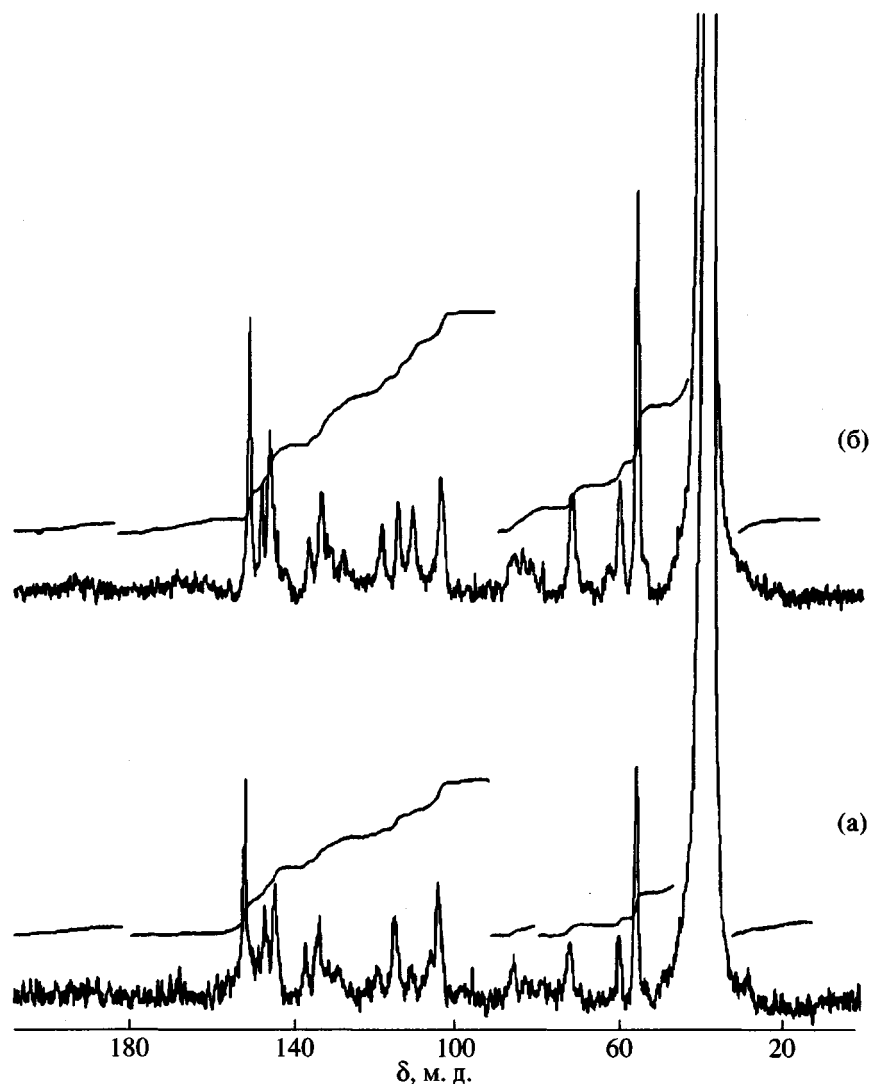


Рис. 1. Спектры ЯМР  $^{13}\text{C}$  лигнинов из коры (а) и внутренней части стебля хлопчатника (б).

горячей водой, например флавонов, флаванонов, изофлавонов и т.д., повлекло бы за собой увеличение содержания групп  $\text{C}=\text{O}$ , а их количество в ДЛК соизмеримо с таковым для ДЗС и ДЛВ. Низкое количество связей  $\text{C}_{\text{ap}}-\text{C}$  в препарате ДЛК также не свидетельствует в пользу наличия флавоноидов, так как в этих соединениях на одно ароматическое кольцо приходится одна связь  $\text{C}_{\text{ap}}-\text{C}$ . Следовательно, структурные характеристики препарата ДЛК отражают химическое строение макромолекулы лигнина коры хлопчатника.

Итак, можно заключить, что макромолекулы диоксанлигнинов, выделенные из всего стебля и из внутренней части различаются только степенью конденсированности, количеством арил-арильных простых эфирных и сложноэфирных связей, тогда как химическое строение диоксанлигнина, выде-

ленного из коры хлопчатника, принципиально иное и отличается и по соотношению структурообразующих звеньев S и G, и по наличию большого количества пирокатехиновых структур, короткой боковой цепью, большим количеством групп  $\text{OH}_{\text{фен}}$ . Кроме того, ДЛК содержит в 2 раза меньше арил-арильных простых эфирных связей и связей  $\text{C}_{\text{ap}}-\text{C}$ . В некоторой степени структура ДЛК похожа на структуру лигнина, полученного из части растения несвязанного с камбимальным слоем, т.е. на лигин из оболочек семян хлопчатника [11].

Подводя итог исследованиям неоднородности лигнина методом спектроскопии ЯМР на ядрах  $^1\text{H}$ ,  $^{13}\text{C}$ , можно с уверенностью говорить о высокой чувствительности и информативности этого метода к анализу тончайших закономерностей в изменении химической структуры макромолекул

лигнинов в зависимости от их ММ [12], метода выделения лигнина из древесной матрицы [8], стадии развития растения [11] или локализации лигнинов в различных частях растения. Можно не только констатировать структурную неоднородность макромолекул лигнина различного происхождения, но и количественно охарактеризовать различия в их структуре.

### СПИСОК ЛИТЕРАТУРЫ

1. *Sarkanen K.V., Hergert H.L.* Lignins, Occurrence, Formation, Structure and Reaction. Classification and Distribution. New York: Wiley, 1971.
2. *Parameswaran N., Faix O., Schweers W.* // Holzforschung. 1975. B. 29. № 1. S. 1.
3. *Anderson A., Erickson M., Fridt H., Miksche G.E.* // Holzforschung. 1973. B. 27. S. 189.
4. *Higuchi T., Ito Y., Shimada M., Kawamura I.* // Cell. Chem. Technol. 1967. V. 1. № 5. P. 585.
5. *Clermont L.P.* // Tappi. 1970. V. 53. № 1. P. 52.
6. *Obst J.R.* // Holzforschung. 1982. B. 36. № 3. S. 143.
7. *Рохин А.В., Каницкая Л.В., Калихман И.Д., Кушнарев Д.Ф., Бабкин В.А., Калабин Г.А.* // Химия древесины. 1992. № 1. С. 76.
8. *Каницкая Л.В., Рохин А.В., Кушнарев Д.Ф., Калабин Г.А.* // Высокомолек. соед. А. 1997. Т. 39. № 6. С. 965.
9. *Chen C.L., Robert D.* Methods in Enzymology. 1988. V. 161 (B). Ch. 15. P. 137.
10. *Kalinowsky H.O., Berger S., Braun S.* Carbon-13 NMR Spectroscopy. New York, 1988.
11. *Рохин А.В., Каницкая Л.В., Кушнарев Д.Ф., Калабин Г.А., Абдуазимов Х.А., Смирнова Л.С., Пулатов Б.Х.* // Химия природных соед. 1994. № 6. С. 798.
12. *Каницкая Л.В., Рохин А.В., Кушнарев Д.Ф., Калабин Г.А., Абдуазимов Х.А.* // Высокомолек. соед. А. 1999. Т. 41. № 5. С. 503.

### Heterogeneous Chemical Structure of Lignins Isolated from Various Plant Tissues: <sup>1</sup>H and <sup>13</sup>C NMR Study

**L. V. Kanitskaya\*, A. V. Rokhin\*\*, D. F. Kushnarev\*\*, and G. A. Kalabin\*\***

\*Institute of Organic Chemistry, Siberian Division, Russian Academy of Sciences,  
ul. Favorskogo 1, Irkutsk, 664033 Russia

\*\*Irkutsk State University,  
ul. Karla Marksа 1, Irkutsk, 664001 Russia

**Abstract**—The chemical structure of dioxane lignins isolated from the whole cotton plant stem (DLS), its inner part (DLIS), and the cotton plant bark (DLB) was studied by <sup>1</sup>H and <sup>13</sup>C NMR spectroscopy. It was demonstrated that DLS and DLIS are distinguished only by the degree of condensation and the number of aryl-aryl ether and ester bonds. On the contrary, the chemical structure of DLB is markedly different from that of DLS and DLIS by the ratio of the structure-forming units S and G, the presence of a great amount of pyrocatechol moieties, the content of functional groups, and the length of side chains.